

УДК 542.65 : 546.831.4

## ИЗУЧЕНИЕ ВЛИЯНИЯ РАЗМЕРНОГО ФАКТОРА И ВОДЫ НА СТАБИЛИЗАЦИЮ ВЫСОКОТЕМПЕРАТУРНЫХ МОДИФИКАЦИЙ ДИОКСИДА ЦИРКОНИЯ В СИСТЕМЕ $ZrO_2$ - $In_2O_3$

О.В. Артамонова, О.Р. Сергуткина, О.В. Суворова

Воронежский Государственный архитектурно-строительный университет

Исследовано термическое поведение наноразмерных композиций состава 10 мол.%  $In_2O_3$  – 90 мол.%  $ZrO_2$ , полученных после гидротермальной обработки ( $T=400^\circ C$ ,  $p=70$  МПа,  $\tau=1$  ч). Установлено, что распад твердого раствора на основе кубического диоксида циркония в системе  $In_2O_3$ – $ZrO_2$  происходит при температуре более  $550^\circ C$ . Выявлены температурные пределы существования наноразмерных частиц  $ZrO_2$  высокотемпературных модификаций, роль размерного фактора и содержания воды, предложен механизм их стабилизации.

### ВВЕДЕНИЕ

Возможность создания функциональных материалов на основе диоксида циркония с различными свойствами базируется, прежде всего, на легировании диоксида циркония добавками оксидов металлов II и III групп, имеющих ионный радиус, близкий к ионному радиусу циркония. Это приводит к стабилизации высокотемпературных модификаций  $ZrO_2$  [1, 2]. Легирование  $ZrO_2$  позволяет получать анион-дефицитные твердые растворы типа  $Zr_{1-x}(M^{2+})_xO_{2-x}$  или  $Zr_{1-y}(M^{3+})_yO_{2-0.5y}$ , которые существуют в виде тетрагональной или кубической модификаций в широком интервале температур. Механизм стабилизации широко обсуждается, однако окончательные выводы пока не сделаны. В качестве основных причин стабилизации высокотемпературных модификаций  $ZrO_2$  выделяют три фактора:

- введение второго компонента в систему;
- размерный эффект;
- удерживание в структуре координационной воды.

Проанализировав закономерности стабилизации высокотемпературных модификаций чистого  $ZrO_2$ , целесообразно провести исследование по влиянию размерного фактора и содержания воды на стабилизацию структуры, а также свойства композиций в системе  $ZrO_2$ - $In_2O_3$ .

### МЕТОДИКА ЭКСПЕРИМЕНТА

В качестве исходного материала в работе использовали наноразмерные порошки (10 – 15 нм) твердого раствора на основе диоксида циркония

(состава 10 мол.%  $In_2O_3$  – 90 мол.%  $ZrO_2$ ), полученные в гидротермальных условиях. Гидротермальный синтез осуществляли по методике описанной в работе [3].

Для определения температуры начала распада твердого раствора на основе кубического диоксида циркония в системе  $In_2O_3$ – $ZrO_2$  проведено исследование по изучению термического поведения образцов (порошков), полученных после гидротермальной обработки. Образцы выдерживали в печи (марки SNOL 7,2/1100) при температурах от 300 до  $650^\circ C$  и продолжительности выдержки 30 мин.

Для анализа качественного и количественного состава, а также структуры и размера частиц полученных композиций в работе использовались: рентгенофлуоресцентный анализ (рентгеновский анализатор марки – VRA-30), дифференциально-термический и термогравиметрический анализ (дереватограф марки – Paulik-Paulik-Erdely Q-1500C), рентгенофазовый анализ (рентгеновский дифрактометр марки – Siemens D-500HS и ДРОН-4), просвечивающая электронная микроскопия (электронный микроскоп марки – ЭМ-125 с  $x_{\text{уск}} = 75$  кВ).

### ОБСУЖДЕНИЕ РЕЗУЛЬТАТОВ

Так как тетрагональная (t) и кубическая (c) модификации диоксида циркония являются высокотемпературными и, как правило, при низких температурах без введения стабилизирующих добавок не существуют, то особый интерес представляет выявление температурных пределов существования наноразмерных частиц  $ZrO_2$  в этих модификациях и механизма их стабилизации.

На рис. 1 представлены дифрактограммы образцов системы 10 мол.%  $In_2O_3$  – 90 мол.%  $ZrO_2$

© О.В. Артамонова, О.Р. Сергуткина, О.В. Суворова, 2006

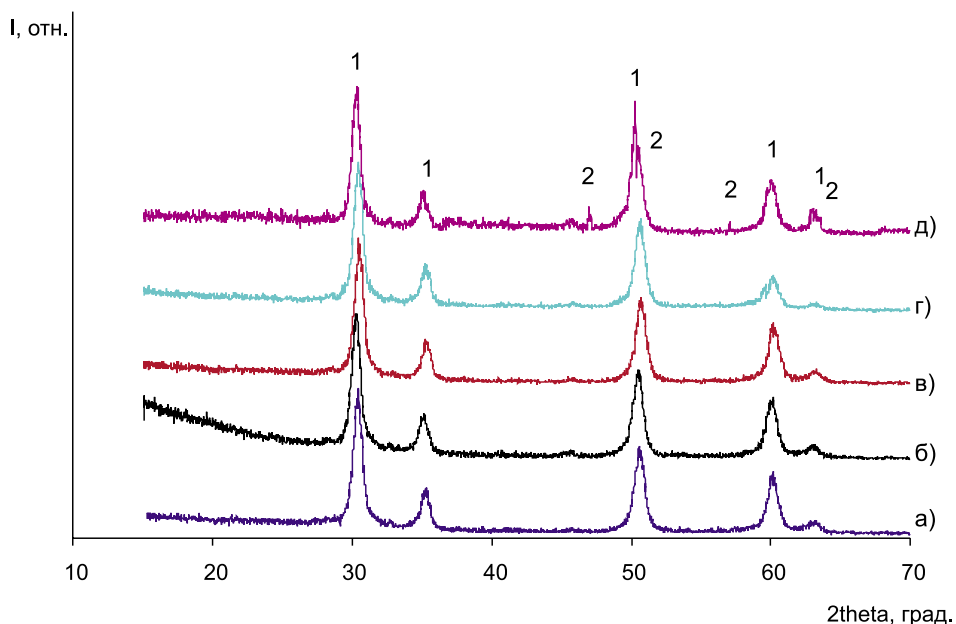


Рис. 1. Дифрактограммы образцов системы 10 мол.%  $\text{In}_2\text{O}_3$  – 90 мол.%  $\text{ZrO}_2$ , термообработанных после гидротермального синтеза при различных температурах и продолжительности обработки 30 мин: а) – 300°C, б) – 420°C, в) – −460°C, г) – 550°C, д) – 650°C. 1 – кубическая модификация  $\text{ZrO}_2$ , 2 – кубическая модификация  $\text{In}_2\text{O}_3$

термообработанных при различных температурах и продолжительности 30мин. На основании полученных данных можно сделать вывод, что распад твердого раствора на основе кубического диоксида циркония в системе 10 мол.%  $\text{In}_2\text{O}_3$  – 90 мол.%  $\text{ZrO}_2$  происходит при температуре более 550°C. При этом образуются высокотемпературные кубические модификации диоксида циркония и оксида индия. Стоит отметить, что размеры частиц при температурах 300 – 460°C изменяются незначительно и составляют 20–25 нм (по данным рентгеновской дифракции и просвечивающей электронной микроскопии – рис. 2). Образцы, термообработанные при температурах 550 и 650°C, имеют размер частиц от 40 нм (при 550°C) до 60–70 нм (при 650°C), то есть размеры частиц значительно увеличиваются с ростом температуры.

Существование при низких температурах нанокристаллов диоксида циркония  $t$  (с) – модификаций в большинстве случаев связывают с размерным фактором [4, 5]. Как показано выше, при исследовании системы  $\text{ZrO}_2$  –  $\text{In}_2\text{O}_3$ , нами установлено, что стабилизируется в основном кубическая модификация диоксида циркония, при этом полученные кристаллы являются наноразмерными и обладают сферической формой (по данным ПЭМ). Эти данные хорошо коррелируют с результатами, полученными при синтезе чистого диоксида циркония [6]. Гидротермальная обработка геля гидроксида циркония приводит к образованию чистой

неравновесной фазы тетрагонального диоксида циркония (синтез при  $T=150^\circ\text{C}$  и  $D=15\text{мин.}$ ). Диоксид циркония, полученный в этих условиях, по данным ПЭМ, представляет собой нанокристаллический порошок с частицами изотропной сферической формы с  $d = 10 – 15$  нм. Таким образом, первичным продуктом формирования  $\text{ZrO}_2$  из аморфного геля гидроксида циркония является метастабильная тетрагональная модификация диоксида циркония, которая постепенно переходит в равновесную моноклинную модификацию при повышении температуры. Известно [7], что в аморфном геле гидроксида циркония имеются кластеры состава  $[\text{Zr}_4(\text{OH})_8(\text{H}_2\text{O})_{16}]^{8+}$ . Наиболее вероятной моделью образования тетрагональной фазы  $\text{ZrO}_2$  из аморфного геля является модель топотактической кристаллизации. Имеющийся дефектный кристаллический каркас, по-видимому, легко деформируется и на его основе формируется неравновесная тетрагональная фаза. Кроме того, фаза  $\text{ZrO}_2$ , формирующаяся из гидроксида циркония может содержать некоторый избыток  $\text{OH}^-$  ионов. Это приводит к формированию катион-дефицитной, имеющей вакансии в катионной подрешетке, фазы, состав которой можно, по-видимому, выразить формулой  $\text{ZrO}_{(1+x)}(\text{OH})_{2(1-x)}$ , и может способствовать формированию неравновесной тетрагональной фазы  $\text{ZrO}_2$ , поскольку последние остатки воды удерживаются в структуре неравновесной фазы до достаточно высоких температур [5], ког-

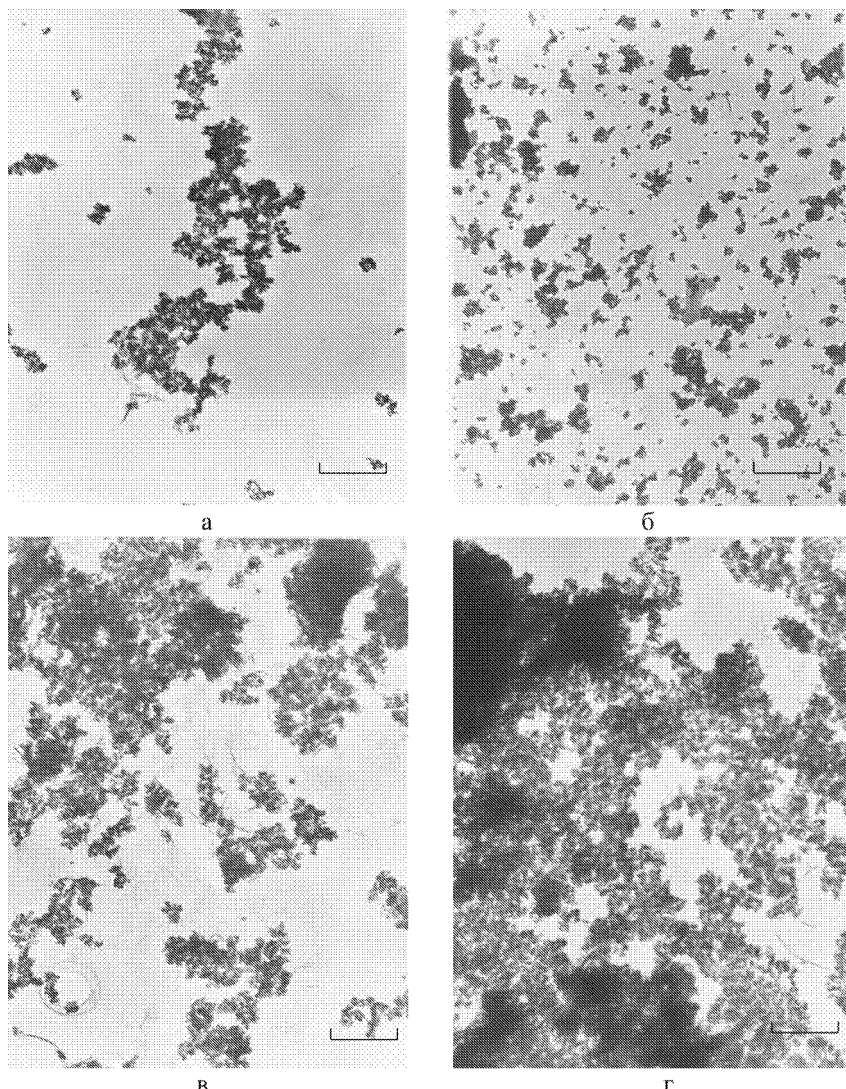


Рис. 2. Микрофотографии композиций 90%  $ZrO_2$ -10%  $In_2O_3$ , полученных после гидротермальной обработки при температуре 400°C и продолжительности выдержки 1ч., с повторной термообработкой продолжительностью 30мин., при различных температурах: а) 300°C, б) 550°C, в) 420°C, г) 650°C. Размер метки 1см – 100нм

да обычно и завершается процесс перехода  $t-ZrO_2 \rightarrow m-ZrO_2$ .

В литературе, кроме исследований, посвященных чистому диоксиду циркония, имеется ряд работ по получению и исследованию диоксида циркония, легированного оксидами различных металлов [8 – 14]. Твердые растворы на основе диоксида циркония стабилизируются или в кубической, или в тетрагональной модификации  $ZrO_2$ . Возможность возникновения и существования неравновесной тетрагональной модификации, как в чистом, так и в легированном  $ZrO_2$ , тесно связана с размерами частиц синтезированных порошков. На основании проведённого нами анализа данных [8 – 14] для образцов чистого  $ZrO_2$  и диоксида циркония, легированного различными оксидами металлов ( $M - Al$ ,  $Ce$ ,  $Y$ ,  $Fe$ ,  $La$ ), можно сделать вывод, что метаста-

бильная тетрагональная (кубическая) фаза устойчива до тех пор, пока размеры областей когерентного рассеяния (ОКР), по данным рентгеновской дифракции, не достигают некоторой критической величины –  $22 \pm 2$  нм. При  $D > 22 \pm 2$  нм устойчивой является равновесная моноклинная модификация.

Согласно известному правилу Оствальда, в неравновесных условиях быстрее образуется не самая стабильная полиморфная модификация (с  $\Delta G_{min}$ ), а имеющая наиболее низкую энергию активации ( $E_{a min}$ ). Первичное образование тетрагональной модификации объясняется различной поверхностной энергией ( $i s$ , где  $i$  – удельная поверхностная энергия,  $s$  – молярная поверхность кристалла) моноклинных и тетрагональных кристаллов и их малыми размерами. Начальный размер кристаллов, образующихся из рентгено-аморфной фазы, состав-

ляет  $\sim 5 - 10$  нм, их удельная поверхность  $\sim 200 - 70 \text{ м}^2/\text{г}$ . Полная энергия кристалла  $E_n$  равна сумме энергии кристаллической решетки  $E_p$  и поверхностной энергии ( $E_n = E_p + is$ ). Энергия решетки  $E_p$  тетрагональной фазы (11016 кДж/моль) близка к та-  
ко-  
вой для моноклинной фазы (11011 кДж/моль) [15], и образование той или иной модификации зависит от величины  $is$ , прямо зависящей от размера ( $D$ ) об-  
разующихся частиц, и при равном  $D$  – от величины  $i$ . При  $25^\circ\text{C}$  в кубической и тетрагональной фазе ди-  
оксида циркония равна  $(7.5 - 7.7) \cdot 10^{-5}$  Дж/см<sup>2</sup>, а моноклинной фазы  $\sim 11.3 \cdot 10^{-5}$  Дж/см<sup>2</sup>. Причина образования тетрагональных (или кубических) кри-  
сталлов заключается, прежде всего, в меньшем зна-  
чении их удельной поверхностной энергии по срав-  
нению с моноклинными. Таким образом, присут-  
ствие в решетке диоксида циркония катионов индия  
(иттрия, церия, железа и др.) приводит к уменьше-

нию поверхностной энергии и к увеличению крити-  
ческого размера кристаллитов, кристаллизующихся в метастабильной тетрагональной структуре.

Исследования кинетики перехода  $t - \text{ZrO}_2 \rightarrow m - \text{ZrO}_2$  [9] свидетельствуют о том, что, хотя раз-  
мерный параметр и оказывает влияние на меха-  
низм стабилизации высокотемпературных моди-  
фикаций  $\text{ZrO}_2$ , он не является единственным фак-  
тором, приводящим к стабилизации неравновес-  
ных фаз в подобных диоксиду циркония «гидро-  
фильных» системах. В ходе кинетического иссле-  
дования полиморфного перехода авторами [9] вы-  
явлено следующая закономерность: с увеличени-  
ем температуры заметный рост частиц  $\text{ZrO}_2$  наблю-  
дается, начиная с температур около  $500^\circ\text{C}$ , а за-  
метное уменьшение количества  $t$  – модификации  $\text{ZrO}_2$  – лишь с температур  $850 - 900^\circ\text{C}$ . Очевидно,  
что формирование диоксида циркония (как и по-

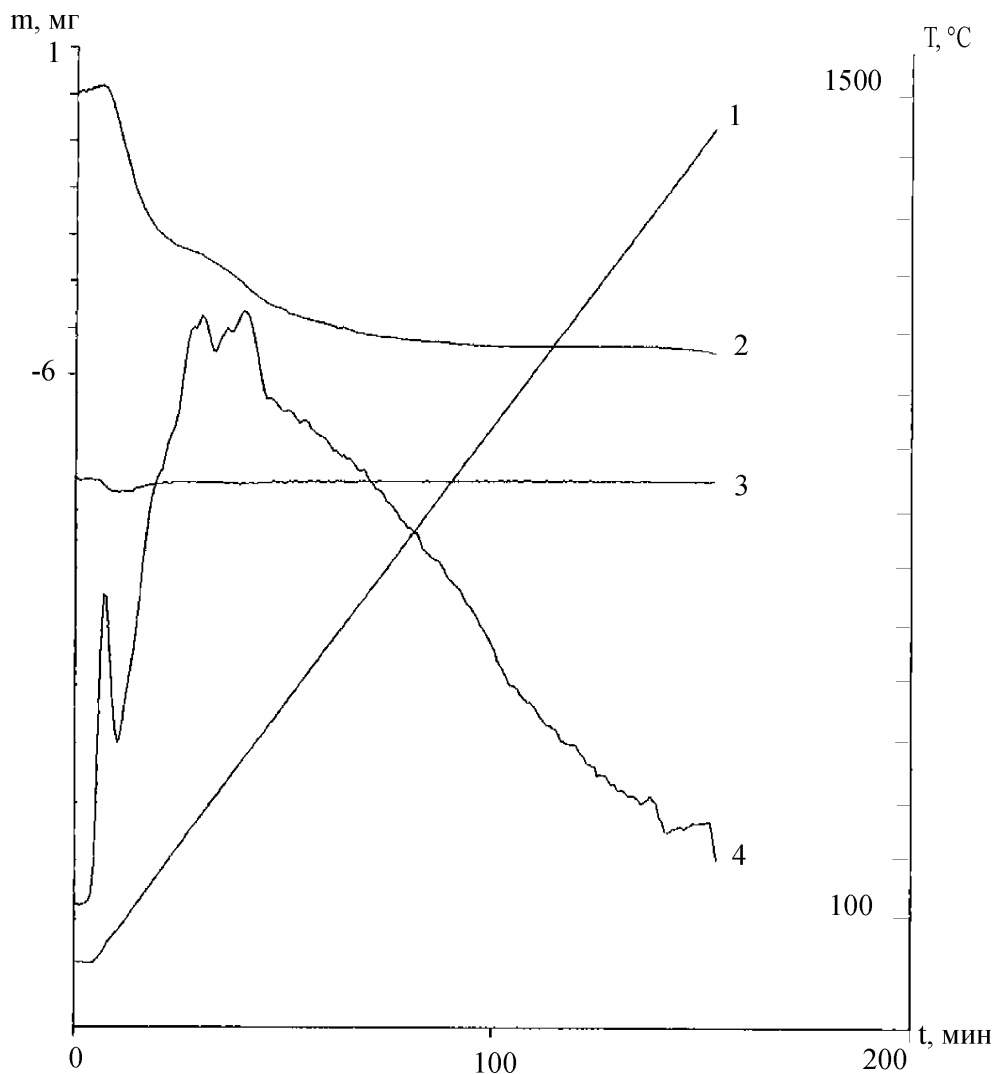


Рис. 3. Данные дифференциальной сканирующей калориметрии для системы 10 мол.%  $\text{In}_2\text{O}_3 - 90$  мол.%  $\text{ZrO}_2$ , 1 – температурная кривая ( $T$ ), 2 – кривая потери массы (TG), 3 – интегральная термическая кривая (DTG), 4 – дифференциальная термическая кривая (DTA)

добных ему «гидрофильных» систем), происходящее в результате дегидратации прекурсора  $ZrO(OH)_2$ , связано с непрерывным, постепенным изменением состава конденсированной фазы (особенно в области, где  $x \rightarrow 1$ ) и наглядно демонстрирует эффект топохимической памяти [16]:



При этом каждому из промежуточных состояний, отвечающих неполной дегидратации и характеризуемых величиной  $x$  ( $x < 1$ ), отвечает, по-видимому, свое значение критического размера  $R$ , величина которого должна быть минимальна при  $x=1$ . Действительно, любое состояние системы  $ZrO_{1+x}(OH)_{2-2x}$ , описываемое величиной  $x < 1$ , соответствует повышенной концентрации катионных вакансий в структуре диоксида циркония (как результат замещения одного кислородного аниона двумя анионами  $OH^-$ ), наличие которых повышает вероятность существования метастабильных модификаций. Следовательно, любой реальный материал на основе диоксида циркония целесообразно рассматривать как один из составов системы  $ZrO_2 - H_2O$ . При этом свойства таких материалов будут в значительной степени определяться количеством содержащейся в них воды и скоростью её удаления [17]. Ещё более сложным является поведение материалов, принадлежащих тройным системам  $ZrO_2 - M_2O_3 - H_2O$ , что связано с гидрофильностью второго твердофазного компонента системы  $-M_2O_3$ .

В данной работе проведено исследование системы  $ZrO_2 - In_2O_3$  методом дифференциальной сканирующей калориметрии (ДСК) (рис. 3). Установлено, что общая потеря массы образца 10 мол.%  $In_2O_3$  – 90 мол.%  $ZrO_2$  при нагревании до температуры 1300°C составляет 8.4 мас.%. Потери массы на участке 20 – 200°C, 200 – 400°C составляют 4.8 мас.% и 2.1 мас.% соответственно, что, по-видимому, связано с удалением адсорбционной воды, которая характерна для этой гидрофильной системы. Остальная потеря массы вплоть до 1300°C составляет 1.5 мас.% и связана с удалением координационной воды, вероятно, входящей в структуру системы  $ZrO_2 - In_2O_3$ . Таким образом, наличие воды в структуре фиксируется при достаточно высоких температурах. Эти данные согласуются с результатами ДСК, полученными для чистого диоксида циркония. Исследование методом ДСК поведения нанокристаллов  $ZrO_2$  при нагревании показало, что при повышении температуры вплоть до 1400°C наблюдается уменьшение массы образца (около 6 мас.%) [9]. Уменьшение массы образ-

ца, по-видимому, связано с удалением сильно связанный воды, присутствующей в структуре нанокристаллов  $ZrO_2$  и стабилизирующей не стабильные при нормальных условиях с- и т- модификации  $ZrO_2$ . Таким образом, важным фактором, определяющим критический размер ОКР, ограничивающим область существования неравновесной тетрагональной (кубической) фазы, вероятно, является количество ионов  $OH^-$ , удерживаемых в дефектных структурах типа  $ZrO_{1+x}(OH)_{2-2x}$  в условиях неравновесной термической обработки.

## ЗАКЛЮЧЕНИЕ

На основании проведенных экспериментальных исследований и анализа литературных данных можно сделать вывод, что для ультрадисперсного состояния вещества, образующегося при дегидратации твердого раствора на основе  $ZrO_2$ , наиболее вероятно образование метастабильной кубической или тетрагональной фазы, что и подтверждается на практике. Предложенная концепция позволяет целенаправленно определять условия термической обработки материалов, находящихся в неравновесном состоянии, с целью сохранения их фазового состава и связанных с ним структурно-чувствительных свойств.

## СПИСОК ЛИТЕРАТУРЫ

- Гусев А.И. Нанокристаллические материалы / А.И. Гусев, А.А. Ремпель. – М. : Физматлит, 2000. – 224 с.
- Исследование метастабильных высокодисперсных фаз, формируемых на основе  $ZrO_2$  / Н.Н. Олейников [и др.] // Журнал неорганической химии. – 2001. – Т. 46, № 9. – С. 1413-1420.
- Гидротермальный синтез кристаллов на основе диоксида циркония в системе  $ZrO_2 - In_2O_3$  / О.В. Артамонова [и др.] // Журнал неорганической химии. – 2004. – Т. 49, № 11. – С. 1789-1792.
- Уваров Н.Ф. Размерные эффекты в химии гетерогенных систем / Н.Ф. Уваров, В.В. Болдырев // Успехи химии. – 2001. – Т. 70, № 4. – С. 307–329.
- Tetragonal nanophase stabilization in nondoped sol-gel zirconia prepared with different hydrolysis catalysts / X. Bokhimi [et al.] // Journal Solid State Chemistry. – 1998. – V. 135. – P. 28-35.
- Синтез нанокристаллических порошков диоксида циркония из гидротермальных и сверхкрических растворов / А.А. Бурухин [и др.] // Вестник Воронеж. гос. техн. ун-та. Серия: Материаловедение. – 1999. – Вып. 1, № 5. – С. 19-25.
- Clearfield A. The mechanism of hydrolytic polymerization of zirconium solutions / A. Clearfield //

Journal of Materials Review. – 1990. – V. 5. – P. 161–162.

8. Получение ультрадисперсных порошков тетрагонального твердого раствора в системе  $ZrO_2$ – $Ce_2O_3$  / В.Я. Шевченко [и др.] // Неорганические материалы. – 2001. – Т. 37, № 7. – С. 821-827.

9. Синтез и свойства нанокристаллических порошков и нанокерамики на основе диоксида циркония / О.В. Альмяшева [и др.] // Химия поверхности и синтез низкоразмерных систем: сб. науч. тр. – СПб., 2002. – С. 13-19.

10. Rossignol S. Effect of preparation method on the properties of zirconia – ceria materials / S. Rossignol, F. Gerard, D. Duprez// Journal of Materials Chemistry. – 1999. – № 9. – P. 1615-1620.

11. Формирование высокодисперсных образцов на основе диоксида циркония / А.С. Иванова [и др.] // Неорганические материалы. – 2000. – Т. 36, № 4. – С. 440-446.

12. Pyda W. Hydrothermal crystallization of zirconia and zirconia solid solutions / W. Pyda, K. Haberko, M.M. Bucko// Journal of American Ceramics Society. – 1991. – V. 74, № 10. – P. 2622-2629.

13. Самсонова О.А. Синтез в гидротермальных условиях и свойства нанокристаллов на основе твердого раствора  $ZrO_2(Y_2O_3)$  / О.А. Самсонова // Молодежная научная конференция, Санкт-Петербург, 5-6 дек. 2000 г. : тез. докл. – СПб., 2000. – С. 54.

14. Об особенностях формирования диоксида циркония в системе  $ZrO_2-Al_2O_3$  / Г.П. Муравьева [и др.] // Доклады РАН. – 2000. – Т. 371, № 1. – С. 52-55.

15. Глушкова В.Б. Фазовые переходы в окислах циркония, гафния и редкоземельных элементов : автореф. дис. ... д-ра хим. наук / В.Б. Глушкова. – Л., 1972. – 50 с.

16. Олейников Н.Н. Эффект топохимической памяти: природа и роль в синтезе твердофазных веществ и материалов / Н.Н. Олейников // Российский химический журнал. – 1995. – Т. 39, № 2. – С. 85-94.

17. Лунин В.В. Роль твердофазных взаимодействий в формировании кислотно-основных свойств поверхности системы  $Y_2O_3-ZrO_2$  / В.В. Лунин, А.Н. Харланов // Кинетика и катализ. – 1996. – Т. 37, № 5. – С. 692-698.